



ФИЗИКА ПЛАСТА

Обучающий модуль для молодых
специалистов

ОСНОВНЫЕ ПОЛОЖЕНИЯ

- **ФИЗИКА ПЛАСТА** - наука, изучающая свойства коллекторов и флюидов, а также процессы их взаимодействия.

ПОДЗЕМНАЯ ГИДРОДИНАМИКА - наука, изучающая движение флюидов через горные породы, имеющие пустоты, одни из которых называют порами, другие трещинами.

ТЕОРИЯ ФИЛЬТРАЦИИ - наука, описывающая движение флюидов с позиций механики сплошной среды, т.е. гипотезы сплошности (неразрывности) течения

КОЛЛЕКТОРА - горные породы, которые могут служить хранилищами флюидов и отдавать их при разработке

ФИЗИКА ПЛАСТА

ФИЗИЧЕСКИЕ СВОЙСТВА КОЛЛЕКТОРОВ

**НАПРАВЛЕНИЯ
КЛАССИФИКАЦИИ
КОЛЛЕКТОРОВ**

ГЕОМЕТРИЧЕСКОЕ

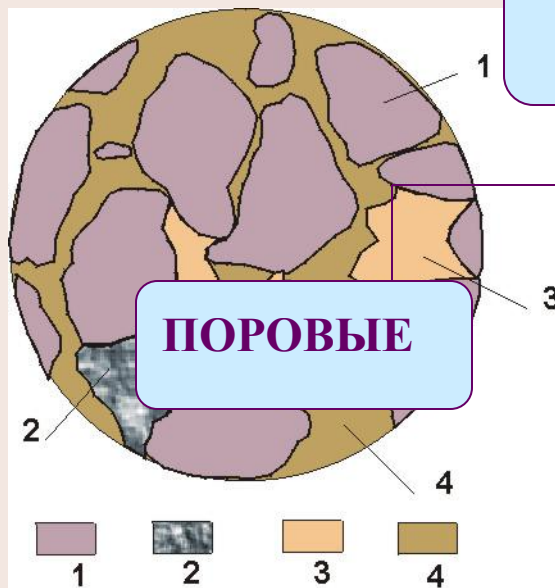
ТЕПЛО-МЕХАНИЧЕСКОЕ

ФАЗОВОЕ

ФИЗИКА ПЛАСТА

ФИЗИЧЕСКИЕ СВОЙСТВА КОЛЛЕКТОРОВ

ВИДЫ КОЛЛЕКТОРОВ



СМЕШАННЫЕ

ТРЕЩИНОВАТЫЕ

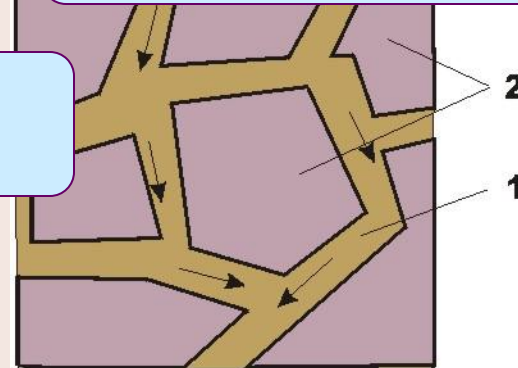


Рис.1. Шлиф пористого коллектора

1-зерна (частицы); 2-цемент (кальцит); 3-глина; 4-поровое пространство

Рис. 2. Схема трещиновато-пористой среды
1 - трещины; 2 - пористые блоки

ГЕОМЕТРИЧЕСКИЕ ПАРАМЕТРЫ ПОРИСТЫХ КЛЛЕКТОРОВ

ФИЗИКА ПЛАСТА

ГРАНУЛОМЕТРИЧЕСКИЙ
СОСТАВ

ПОРИСТОСТЬ

УДЕЛЬНАЯ
ПОВЕРХНОСТЬ

ПРОНИЦАЕМОСТЬ

ФИЗИКА ПЛАСТА

ГРАНУЛОМЕТРИЧЕСКИЙ СОСТАВ

Гранулометрическим составом породы называют количественное (массовое) содержание в породе частиц различной крупности



Рис. 3. Кривая суммарного гранулометрического состава
1-точка подбора размеров отверстия фильтров

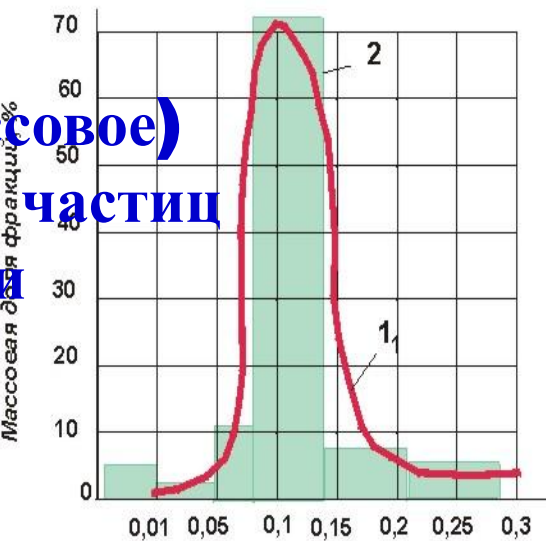


Рис.4. Кривая распределения по размерам (1) и гистограмма (2)

Степень неоднородности

$$\frac{d_{60}}{d_{10}}$$

Эффективный диаметр

$$d_{\text{э}} = \sqrt[3]{\frac{\sum n_i d_i^3}{\sum n_i}}$$

ФИЗИКА ПЛАСТА

ПОРИСТОСТЬ

$$m_o = V_p/V$$

ПОЛНАЯ

ОТКРЫТАЯ

ДИНАМИЧЕСКАЯ

ПОРОВЫЕ КАНАЛЫ

- 1) сверхкапиллярные – более **0,5** мм;
- 2) капиллярные – от **0,5** до **0,0002** мм (**0,2** мкм);
- 3) субкапиллярные — менее **0,0002** мм (**0,2** мкм).

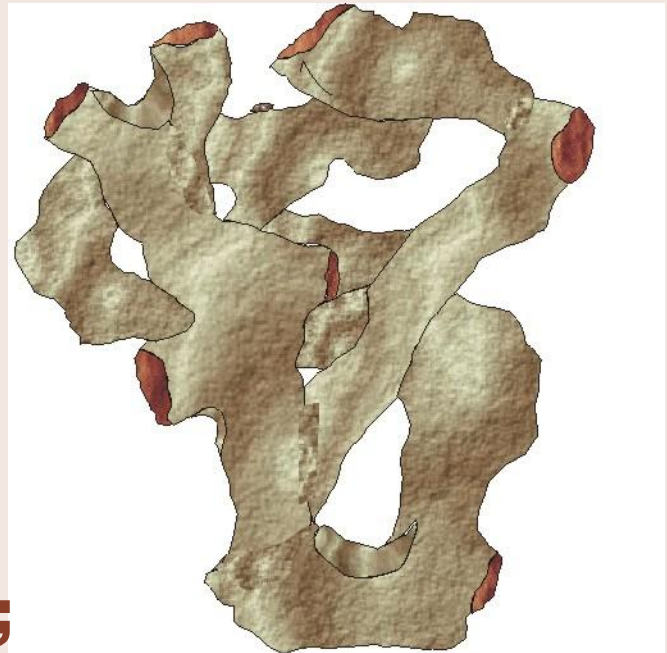


Рис.5. Слепок поровых каналов сцементированного песчаника

ФИЗИКА ПЛАСТА

УДЕЛЬНАЯ ПОВЕРХНОСТЬ $S_{уд}$ - суммарная площадь поверхности частиц, содержащихся в единице объема

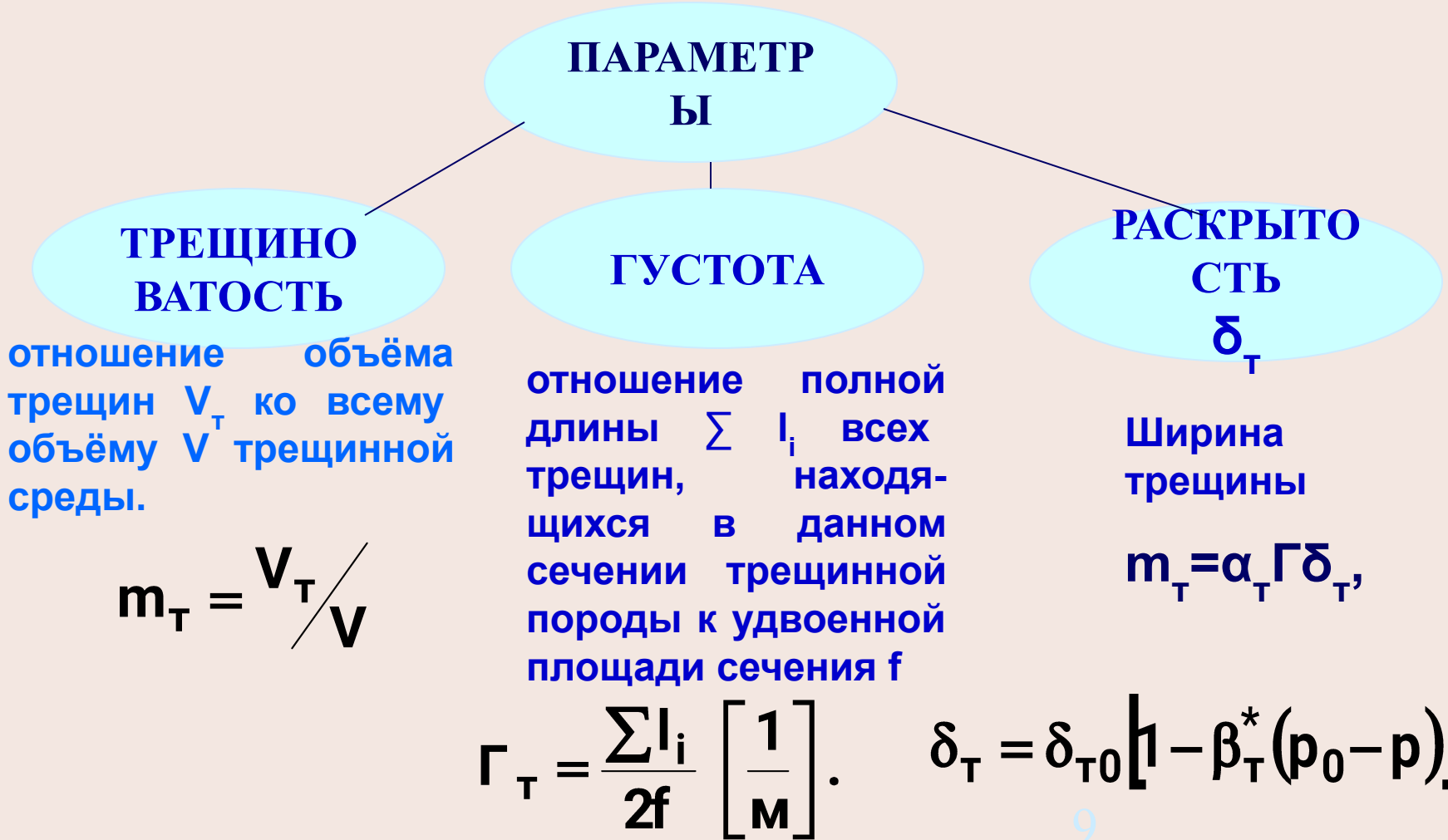
Среднее значение $S_{уд}$ изменяется в пределах для нефтеодержащих пород $40 \text{ м}^2/\text{м}^3$ - $230 \text{ м}^2/\text{м}^3$

ПРОНИЦАЕМОСТЬ - параметр породы, характеризующий её способность пропускать к забоям скважины флюиды.



ФИЗИКА ПЛАСТА

ТРЕЩИНОВАТЫЕ ПОРОДЫ



ФИЗИКА ПЛАСТА

ТЕПЛО- МЕХАНИЧЕСКИЕ ПАРАМЕТРЫ

НАПРЯЖЕННОЕ СОСТОЯНИЕ ПОРОД

Параметры деформируемого состояния: Е – модуль Юнга, ν - коэффициент Пуассона; G – модуль сдвига; β -модуль объёмной упругости.

$10^9 \leq E \leq 10^{11}$ Па, $0 \leq \nu \leq 0,5$.

СОСТАВЛЯЮЩИЕ НОРМАЛЬНОГО ПОЛЯ НАПРЯЖЕНИЙ

ПО ВЕРТИКАЛИ

ПО ГОРИЗОНТАЛИ

$$\sigma_z = \rho g H$$

$$\sigma_y = \sigma_x = n \rho g H$$

Коэффициент бокового распора

$$n = \frac{\nu}{1 - \nu} \quad 0 \leq n \leq 0,5$$

ФИЗИКА ПЛАСТА

ТЕПЛО- МЕХАНИЧЕСКИЕ ПАРАМЕТРЫ

НАПРЯЖЕННОЕ СОСТОЯНИЕ ПОРОД В РАЙОНЕ ГОРНЫХ ВЫРАБОТОК

АНОМАЛЬНЫЕ
НАПРЯЖЕНИЯ

РАЗГРУЗКА АНОМАЛЬНЫХ
НАПРЯЖЕНИЙ ПРИ
ПЛАСТИЧЕСКОЙ ДЕФОРМАЦИИ

РАДИУС ОБЛАСТИ РАЗГРУЗКИ
ГОРНОГО ДАВЛЕНИЯ

$$r_p = 0,61 r_c \exp \left[\frac{(\rho_p - \rho_v) g H}{2 K_p} \right]$$

ФИЗИКА ПЛАСТА

ТЕПЛО- МЕХАНИЧЕСКИЕ ПАРАМЕТРЫ

ДЕФОРМАЦИОННЫЕ И ПРОЧНОСТНЫЕ СВОЙСТВА ГОРНЫХ ПОРОД

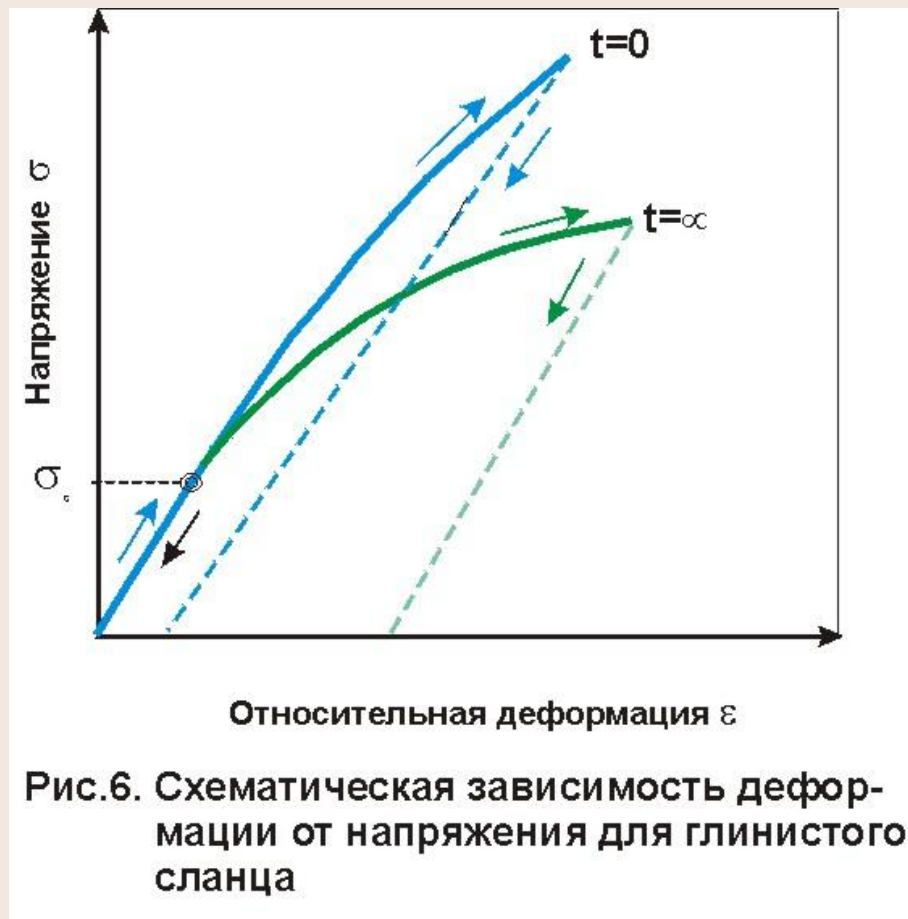


Рис.6. Схематическая зависимость деформации от напряжения для глинистого сланца

ДЕФОРМАЦИЯ:

1. УПРУГАЯ ($\sigma \leq \sigma_s$);
2. ПЛАСТИЧЕСКАЯ ($\sigma \geq \sigma_s$);
3. КРИП (ПОЛЗУЧЕСТЬ);
4. ХРУПКАЯ

ФИЗИКА ПЛАСТА

ТЕПЛО- МЕХАНИЧЕСКИЕ ПАРАМЕТРЫ

УПРУГИЕ ИЗМЕНЕНИЯ СВОЙСТВ КОЛЛЕКТОРОВ В ПРОЦЕССЕ РАЗРАБОТКИ И ЭКСПЛУАТАЦИИ НЕФТЯНЫХ МЕСТОРОЖДЕНИЙ

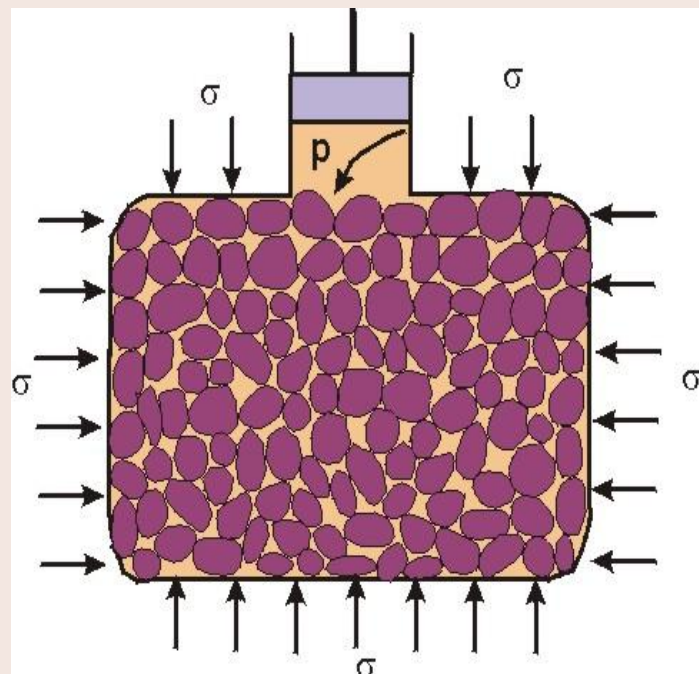


Рис.7. Схема проявления горного и эффективного давлений в породе

ЭФФЕКТИВНОЕ НАПРЯЖЕНИЕ

$$\sigma_{\text{эфф}} = \sigma - p$$

КОЭФФИЦИЕНТ
СЖИМАЕМОСТИ ПОРОДЫ [1/Па]

$$\beta = m\beta_p + \beta_t$$

КОЭФФИЦИЕНТ ОБЪЁМНОЙ
УПРУГОСТИ ПЛАСТА

$$\beta_c = m\beta_p$$

ФИЗИКА ПЛАСТА

ТЕПЛО- МЕХАНИЧЕСКИЕ ПАРАМЕТРЫ

ВЛИЯНИЕ ДАВЛЕНИЯ НА КОЛЛЕКТОРСКИЕ СВОЙСТВА ПОРОД

ПОРИСТОСТЬ $m = m_0 \exp[-\beta_\pi(\sigma - \sigma_0)]$

ПРОНИЦАЕМОСТЬ $k = k_0 \exp[-n(\sigma - \sigma_0)]$

ГДЕ $n = 2 \frac{(3+\alpha)}{(2+\alpha)} \beta_{\pi 0} (\sigma - p)_0$

Для сцементированных песчаников структурный коэффициент α находится в интервале -1,25+ -1,8.

ФИЗИКА ПЛАСТА

ТЕПЛО- МЕХАНИЧЕСКИЕ ПАРАМЕТРЫ

ТЕПЛОВЫЕ СВОЙСТВА ГОРНЫХ ПОРОД

ОСНОВНЫЕ ПАРАМЕТРЫ

$$a = \frac{\lambda}{c\rho}$$

УДЕЛЬНАЯ
ТЕПЛОЁМКОСТЬ c

$c = 0,4\text{-}2 \text{ кДж/(кг К)}$.

$1,5 \cdot 10^3 \leq c\rho \leq 3 \cdot 10^3 \text{ кДж/(м}^3\text{·К)}$.

УДЕЛЬНОЕ ТЕПЛОВОЕ
СОПРОТИВЛЕНИЕ $\sum 1/\lambda$

КОЭФФИЦИЕНТ
ТЕПЛОПРОВОДНОСТИ λ

$$dQ = \lambda \frac{\Delta T}{\Delta x} S dt$$

КОЭФФИЦИЕНТ
ТЕМПЕРАТУРОПРОВОДНОСТИ a

$$\alpha_L = \frac{dL}{LdT} \quad \alpha_V = \frac{dV}{VdT}$$

ФИЗИКА ПЛАСТА

СВОЙСТВА ПОРИСТОЙ СРЕДЫ, СОДЕРЖАЩЕЙ НЕСКОЛЬКО ФАЗ

ПОВЕРХНОСТНЫЕ СИЛЫ

ПРИРОДА
ПОВЕРХНОСТНЫХ
СИЛ

СВОБОДНАЯ ПОВЕРХНОСТНАЯ
ЭНЕРГИЯ - РАБОТА,
НЕОБХОДИМАЯ ДЛЯ
ОБРАЗОВАНИЯ ЕДИНИЦЫ
ПЛОЩАДИ НОВОЙ ПОВЕРХНОСТИ

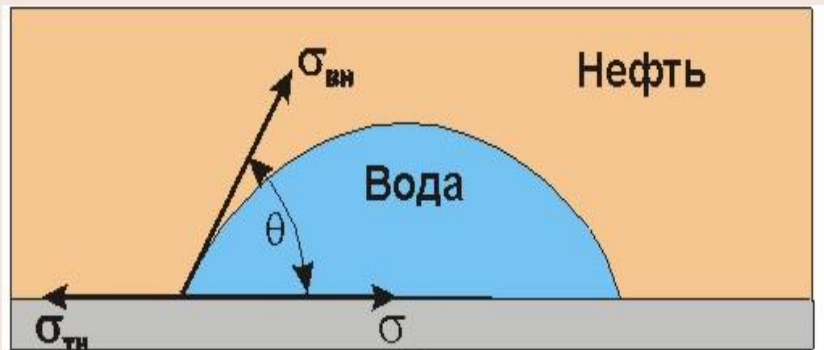
ПОВЕРХНОСТНОЕ НАТЯЖЕНИЕ — ЭТО СИЛА НА ЕДИНИЦУ
ДЛИНЫ, НЕОБХОДИМАЯ ДЛЯ ОБРАЗОВАНИЯ НОВОЙ
ПОВЕРХНОСТИ, ВЫРАЖАЕМАЯ В **ДИН/СМ** И ЧИСЛЕННО РАВНАЯ
ВЕЛИЧИНЕ ПОВЕРХНОСТНОЙ ЭНЕРГИИ В **ЭРГ/СМ²**

ФИЗИКА ПЛАСТА

СВОЙСТВА ПОРИСТОЙ СРЕДЫ, СОДЕРЖАЩЕЙ НЕСКОЛЬКО ФАЗ

СМАЧИВАЕМОСТЬ

АДГЕЗИОННОЕ НАТЯЖЕНИЕ



$$\cos \theta = (\sigma_{\text{TH}} - \sigma_{\text{TB}}) / \sigma_{\text{VB}}$$

Рис.8. Равновесие сил на границе раздела трёх фаз: вода - нефть - твердое тело

$$A_H = \sigma_{\text{TH}} - \sigma_{\text{TB}} = \sigma_{\text{VB}} \cos \theta_{\text{VB}}$$

ПОВЕРХНОСТЬ МОЖЕТ БЫТЬ:
гидрофильной ($\theta > 0$)

или

гидрофобной ($\theta < 0$).

ФИЗИКА ПЛАСТА

СВОЙСТВА ПОРИСТОЙ СРЕДЫ, СОДЕРЖАЩЕЙ НЕСКОЛЬКО ФАЗ

ПОДЪЁМ ЖИДКОСТИ В КАПИЛЛЯРАХ

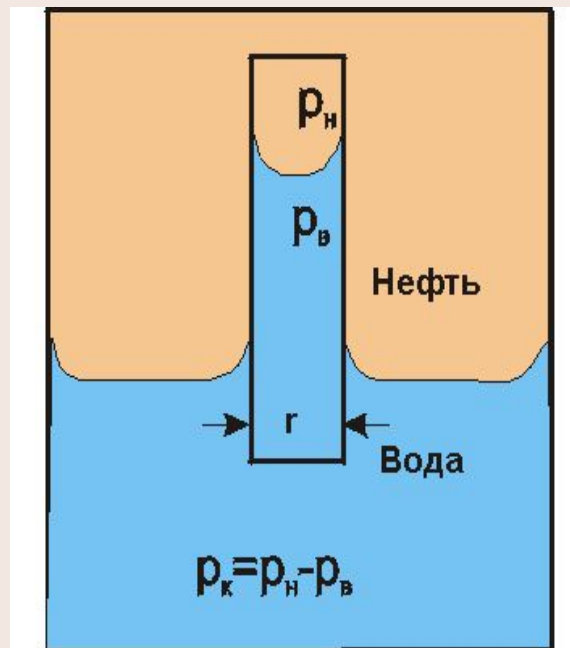


Рис. 9. Капиллярное давление на границе раздела вода - нефть

КАПИЛЛЯРНОЕ ДАВЛЕНИЕ

$$p_k = \frac{2\sigma_{vn} \cos \theta_{vn}}{\Gamma}$$

В ПОРИСТОЙ СРЕДЕ СМАЧИВАЮЩАЯ ФАЗА НАХОДИТСЯ ПОД МЕНЬШИМ ДАВЛЕНИЕМ, ЧЕМ НЕСМАЧИВАЮЩАЯ

ФИЗИКА ПЛАСТА

ПОРЯДОК НАСЫЩЕНИЯ ПОРИСТОЙ СРЕДЫ

Капиллярное давление:

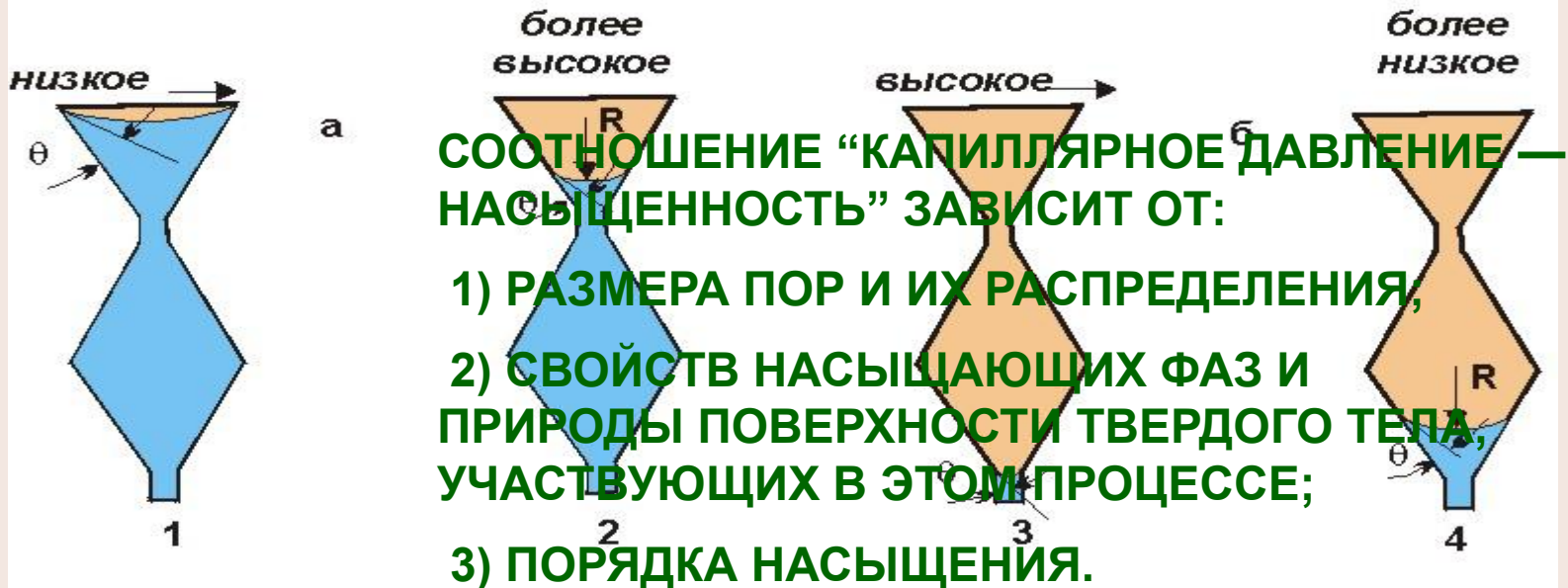


Рис.10. Зависимость равновесной насыщенности поры переменного размера от порядка насыщения.

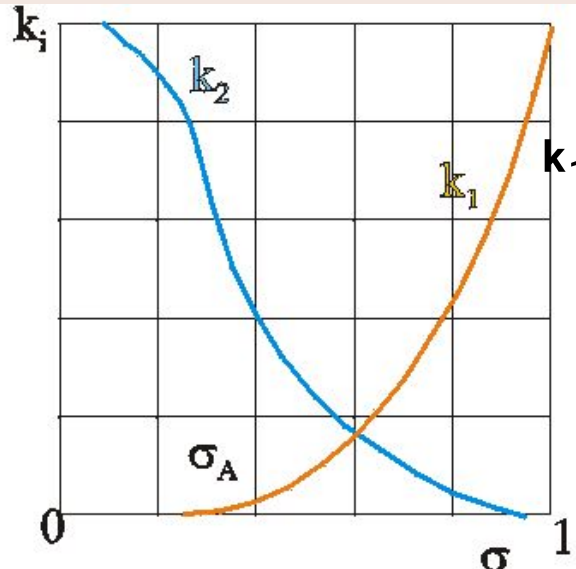
а - дренирование; б - впитывание (угол смачивания θ и капиллярное давление p_c одни и те же)

1 - низкое капиллярное давление ($\varepsilon=100\%$); 2 - $p_c = p_e$ ($\varepsilon=80\%$);

3- высокое капиллярное давление ($\varepsilon=0$); 4 - $p_c = p_e$ ($\varepsilon=10\%$)

ФИЗИКА ПЛАСТА

НАСЫЩЕННОСТЬ σ_i , ЭФФЕКТИВНАЯ k_i И ОТНОСИТЕЛЬНАЯ ПРОНИЦАЕМОСТЬ $\square k_i$



$$\sum_{i=1}^n \sigma_i = 1$$

Рис.11. Зависимость относительных проницаемостей от насыщенности σ
 k_1 - нефть, k_2 - вода

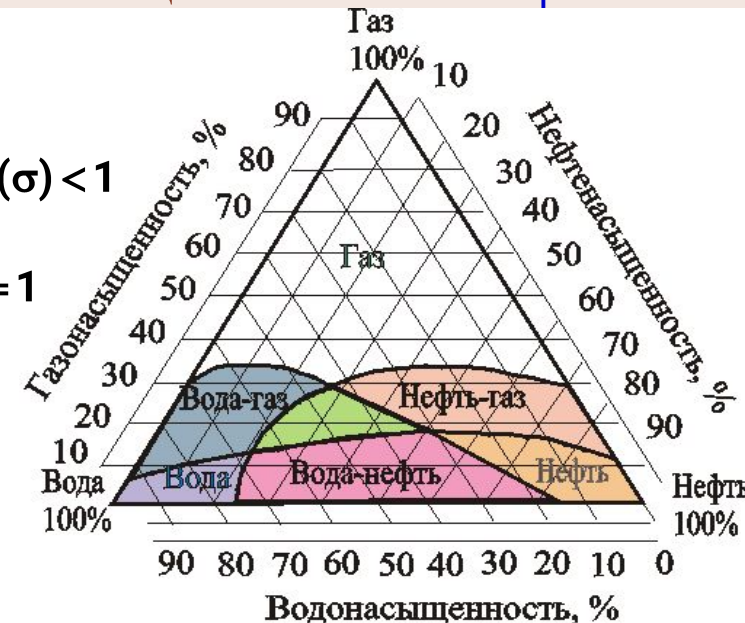


Рис. 12. Диаграмма для определения границ преобладания потоков различных фаз при трёхфазном движении

$$\sigma_i = \frac{\Delta V_i}{\Delta V_{\text{п}}}$$

$$\sum_{i=1}^n \sigma_i = 1$$

$$k_1(\sigma) + k_2(\sigma) < 1$$

ФИЗИКА ПЛАСТА

ВЛИЯНИЕ ТЕМПЕРАТУРЫ НА ФАЗОВЫЕ ПРОНИЦАЕМОСТИ

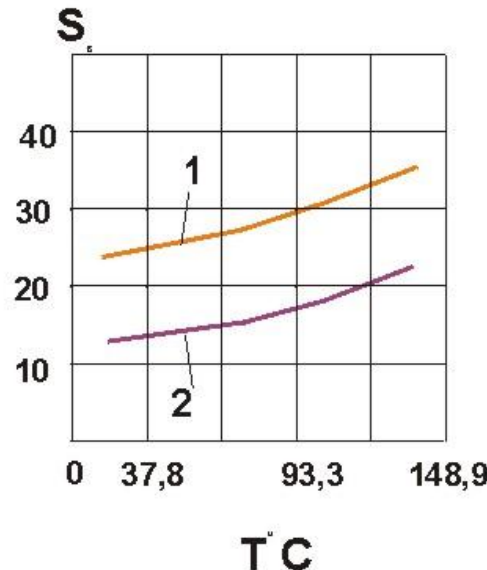
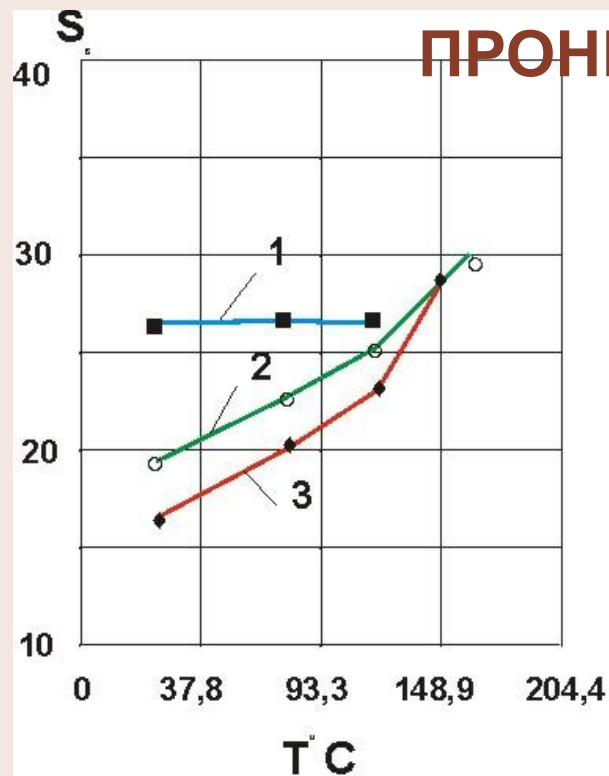


Рис.13. Зависимость водонасыщенности S_e (в %) от температуры
1 - известняк; 2 - песчаник БАНДЕРА; 3 - песчаник БЕРЕА

Рис. 14. Зависимость S_e (в %) от температуры
1 - природный песок; 2 - песок ХЬЮСТОН

ФИЗИКА ПЛАСТА

1. С ростом температуры увеличивается водонасыщенность пористой среды и уменьшается остаточная нефтенасыщенность (рис. 13).
2. С ростом температуры уменьшается абсолютная проницаемость породы для воды, не изменяется абсолютная проницаемость для нефти и газа.
3. С ростом температуры значительно увеличивается относительная фазовая проницаемость для нефти и уменьшается относительная фазовая проницаемость для воды при постоянной насыщенности пористой среды. Кривые относительных фазовых проницаемостей для нефти и воды при увеличении температуры смещаются вправо (рис 14).
4. Гистерезис между вытеснением нефти водой и капиллярным впитыванием воды уменьшается при увеличении температуры.
5. Контактный угол на границе нефть-вода—порода уменьшается при увеличении температуры, т.е. пористая среда становится более смачиваемой водой.
2. Относительная фазовая проницаемость для нефти увеличивается, а для воды уменьшается при возрастании температуры.
3. Использование в расчетах кривых относительных фазовых проницаемостей для нефти и воды, полученных экспериментально при комнатной температуре, приводит к занижению коэффициента нефтеотдачи.

ФИЗИКА ПЛАСТА СОСТАВ И ФИЗИЧЕСКИЕ СВОЙСТВА НЕФТИ И ВОДЫ

СОСТОЯНИЕ УГЛЕВОДОРОДОВ В ПЛАСТОВЫХ И
АТМОСФЕРНЫХ УСЛОВИЯХ

ГЕТЕРОГЕННЫЕ И ГОМОГЕННЫЕ
СИСТЕМЫ

“ФАЗА” — ЭТО “ОПРЕДЕЛЕННАЯ ЧАСТЬ СИСТЕМЫ,
КОТОРАЯ ЯВЛЯЕТСЯ ГОМОГЕННОЙ И ФИЗИЧЕСКИ
ОТДЕЛЕНА ОТ ДРУГИХ ФАЗ ОТЧЕТЛИВЫМИ
ГРАНИЦАМИ”.

ФИЗИКА ПЛАСТА

ФИЗИЧЕСКИЕ СВОЙСТВА НЕФТИ

ФИЗИЧЕСКОЕ СОСТОЯНИЕ НЕФТИ
ПРИ РАЗЛИЧНЫХ УСЛОВИЯХ В ЗАЛЕЖИ

ГАЗОНЕФТЯНЫЕ

НЕФТЯНЫЕ

СОСТАВ И КЛАССИФИКАЦИЯ НЕФТЕЙ

ОБЩИЙ
СОСТАВ

МЕРКАПТАНЫ

АСФАЛЬТО-
СМОЛИСТЫЕ
ВЕЩЕСТВА

АСФАЛЬТЕНЫ

КЛАССЫ ПО СОДЕРЖАНИЮ

СЕРЫ

СМОЛ

ПАРАФИНОВ

ПАРАФИНЫ
ЦЕРЕЗИНЫ

ФИЗИКА ПЛАСТА

РАСТВОРИМОСТЬ ГАЗОВ В НЕФТИ И ВОДЕ

ЗАКОН ГЕНРИ

$$V_r = \alpha p V_{ж}$$

кажущийся
удельный
растворенного
жидкой фазе

$$v = \frac{\Delta V}{G}$$

объем
газа в

КОНТАКТНОЕ И
ДИФФЕРЕНЦИАЛЬНОЕ
РАЗГАЗИРОВАНИЕ

КОЭФФИЦИЕНТ
РАЗГАЗИРОВАНИЯ

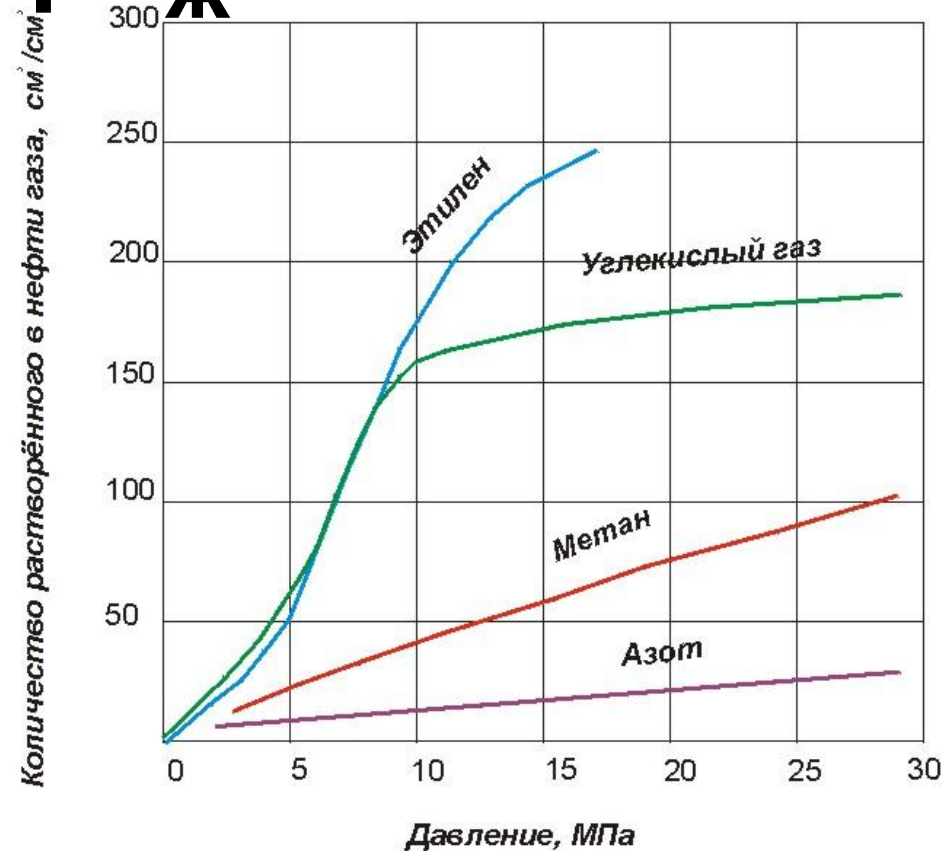


Рис.15. Изотермы растворимости газов в нефти при температуре 50° С

ФИЗИКА ПЛАСТА

ДАВЛЕНИЕ НАСЫЩЕНИЯ НЕФТИ ГАЗОМ

Давление насыщения пластовой нефти P_H - максимальное давление, при котором газ начинает выделяться из нефти при изотермическом ее расширении в условиях термодинамического равновесия

ПАРАМЕТРЫ, УВЕЛИЧИВАЮЩИЕ P_H

- 1. молекулярная масса (плотность);**
- 2. температура;**
- 3. содержание плохо растворимых в нефти компонент (N_2)**

НАСЫЩЕННАЯ И НЕДОНАСЫЩЕННАЯ НЕФТЬ

ФИЗИКА ПЛАСТА

СЖИМАЕМОСТЬ НЕФТИ. ОБЪЕМНЫЙ КОЭФФИЦИЕНТ

КОЭФФИЦИЕНТ СЖИМАЕМОСТИ
(ОБЪЁМНОЙ УПРУГОСТИ)

$$\beta_H = -\frac{1}{V} \frac{\Delta V}{\Delta p}$$

ОБЪЁМНЫЙ КОЭФФИЦИЕНТ

$$b = \frac{V_{пл}}{V_{дег}}$$

УСАДКА НЕФТИ

$$U = \frac{b - 1}{b} 100 \quad U = (b - 1) 100\%$$

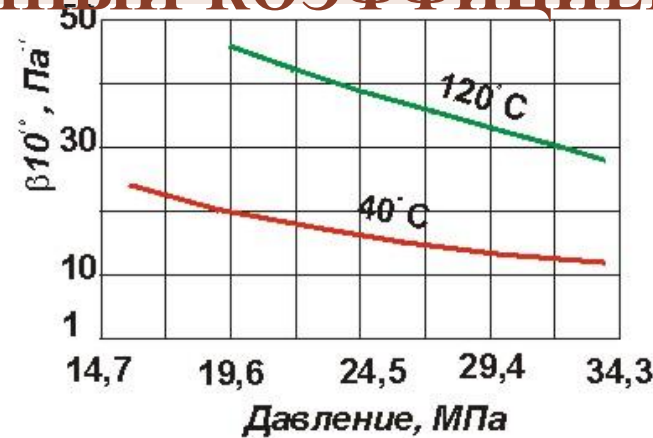


Рис.16. Зависимость коэффициента сжимаемости от давления и температуры

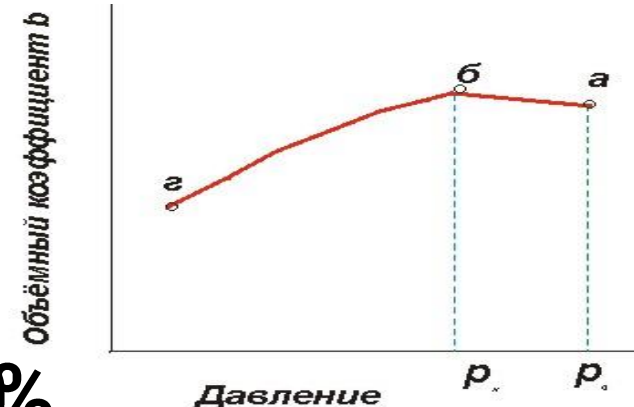


Рис.17. Зависимость объемного коэффициента от давления для недонасыщенной нефти

ФИЗИКА ПЛАСТА

ПЛОТНОСТЬ

ВЯЗКОСТЬ

ПЛАСТОВОЙ НЕФТИ

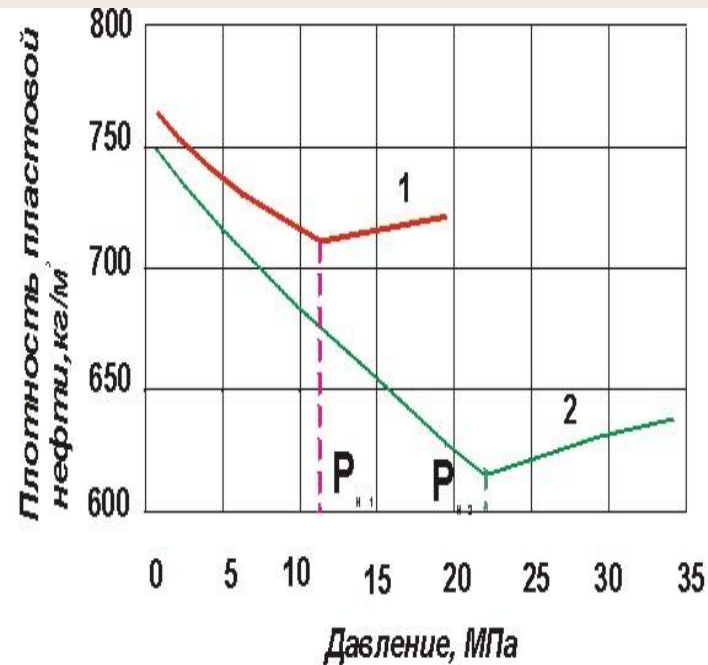


Рис.18. Зависимость плотности пластовой нефти от давления и количества растворенного газа
1 -Ахтырское месторождение, t=70°C;
2-Новодмитриевское месторождение, t=70°C

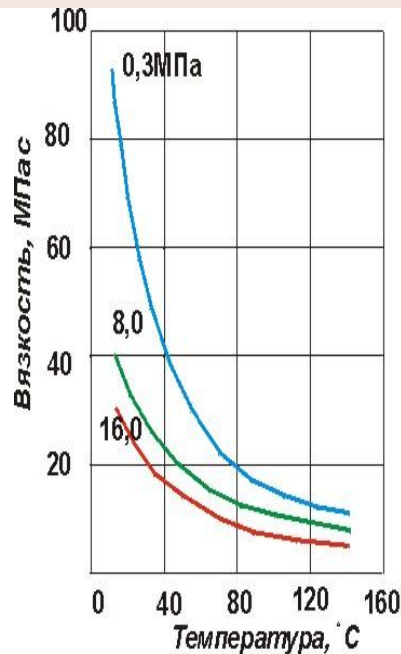


Рис.19. Влияние температуры на вязкость

Цифры у кривых - давление насыщения нефти газом

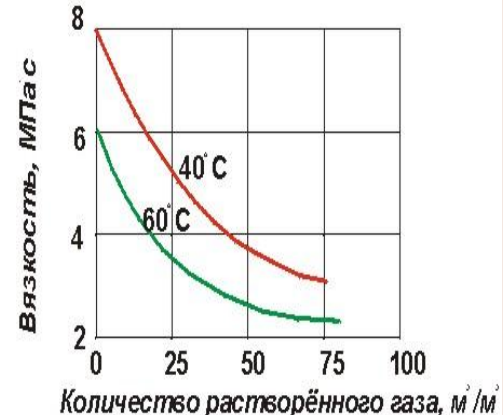


Рис.20. Изменение вязкости нефти при насыщении её газом

Цифры у кривых - температура нефти

ФИЗИКА ПЛАСТА

ФИЗИЧЕСКИЕ СВОЙСТВА ПЛАСТОВЫХ ВОД

КОЭФФИЦИЕНТ ТЕПЛОВОГО
РАСШИРЕНИЯ

$$\epsilon = \frac{1}{V} \frac{\Delta V}{\Delta t}$$

КОЭФФИЦИЕНТ
СЖИМАЕМОСТИ ВОДЫ

$$\beta_v = \frac{1}{V} \frac{\Delta V}{\Delta p}$$

ПРИ НАЛИЧИИ
РАСТВОРЁННОГО ГАЗА

$$\beta_{vg} = \beta_v (1 + 0,05s)$$

ОБЪЁМНЫЙ
КОЭФФИЦИЕНТ
ПЛАСТОВОЙ ВОДЫ

$$b = \frac{V_{pl}}{V_h}$$

ФИЗИКА ПЛАСТА

ОСНОВНЫЕ ПОНЯТИЯ ФАЗОВОГО СОСТОЯНИЯ ФАЗОВЫЕ ДИАГРАММЫ

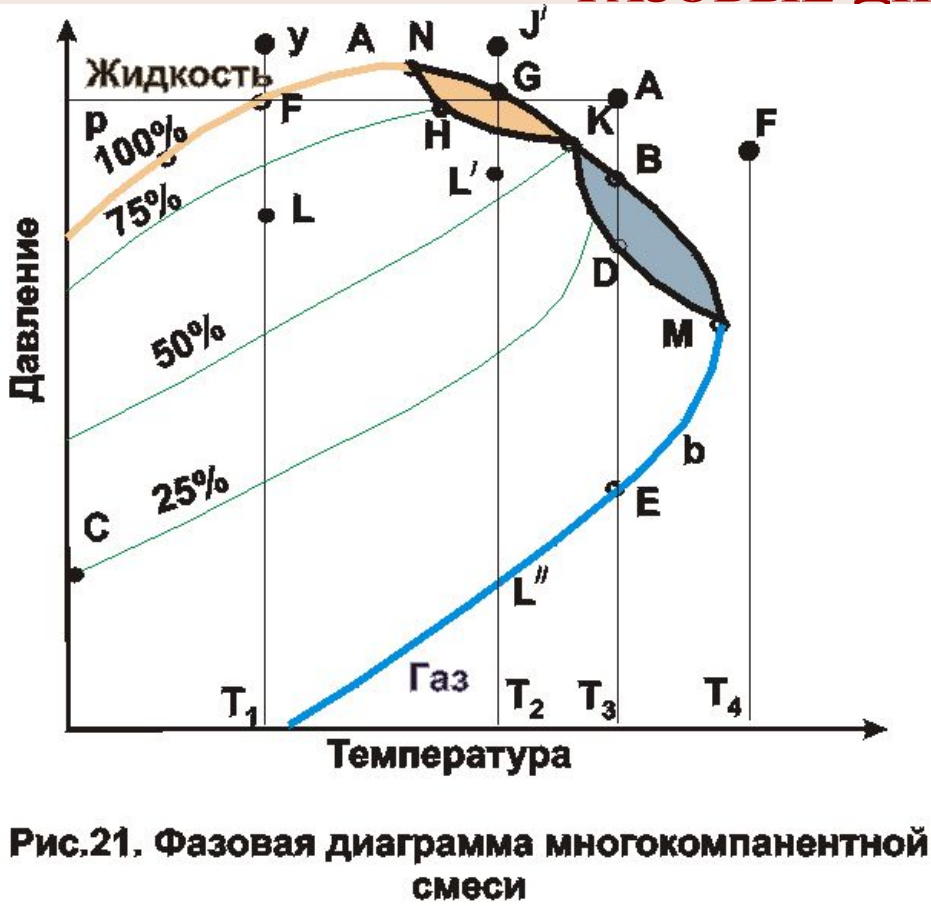


Рис.21. Фазовая диаграмма многокомпонентной смеси

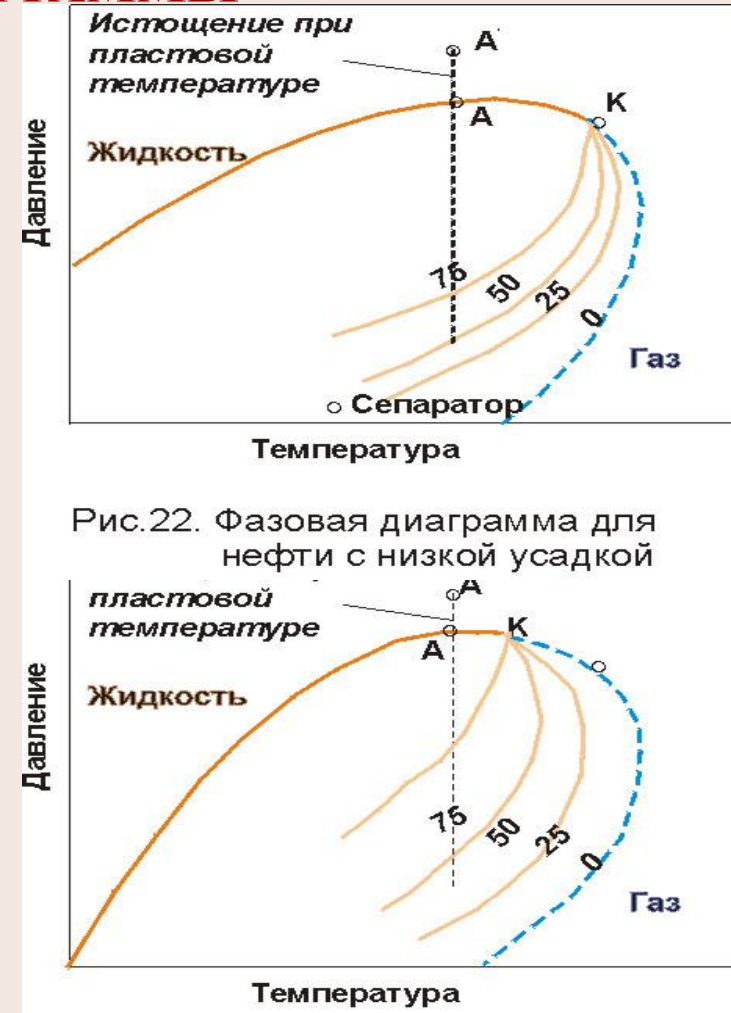


Рис.22. Фазовая диаграмма для нефти с низкой усадкой

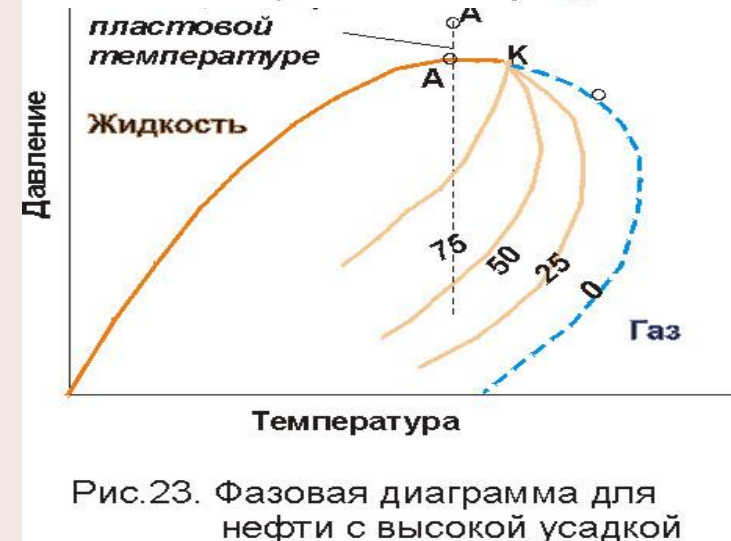


Рис.23. Фазовая диаграмма для нефти с высокой усадкой

ПОДЗЕМНАЯ НЕФТЕГИДРОДИНАМИКА

МОДЕЛЬ ФИЛЬТРАЦИОННОГО ТЕЧЕНИЯ

ПОНЯТИЕ
СПЛОШНОЙ
СРЕДЫ

ПРОСТРАНСТВЕННЫЕ
МОДЕЛИ

МОДЕЛИ ПО ЧИСЛУ
ФАЗ

ИЗОТЕРМИЧЕСКОЕ
ПРИБЛИЖЕНИЕ

МОДЕЛИ ПО
СТЕПЕНИ
СЖИМАЕМОСТИ

РЕОЛОГИЧЕСКИЕ
МОДЕЛИ

ВРЕМЕННЫЕ
МОДЕЛИ

$$\tau_{xy} = \eta \frac{\partial \cdot u_x}{\partial \cdot y}$$

ПОДЗЕМНАЯ НЕФТЕГИДРОДИНАМИКА

СКОРОСТЬ ФИЛЬТРАЦИИ

**ЗАКОН ДАРСИ
(ЛИНЕЙНЫЙ ЗАКОН
ФИЛЬТРАЦИИ)**

$$\mathbf{u} = \nabla \cdot \mathbf{w}$$

$$\tilde{\mathbf{u}} = -c \cdot \text{grad}H \quad H = z + \frac{p}{\gamma}$$

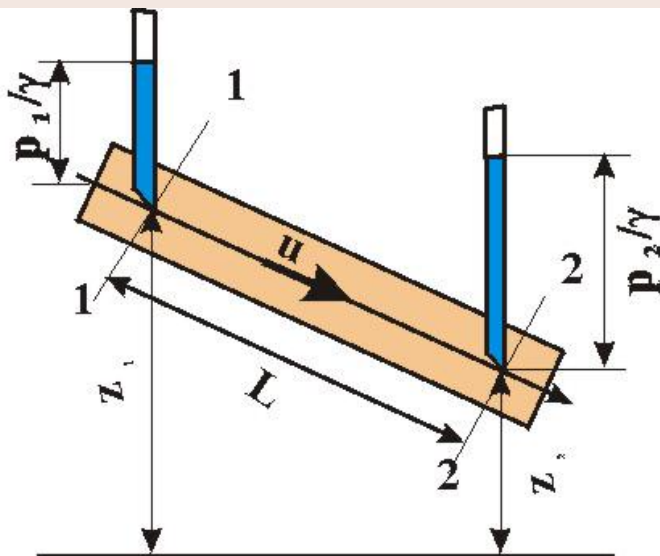


Рис.24. Схема наклонного пласта

$$u = -\frac{k\gamma}{\eta} \text{grad}H$$

$$u = -\frac{k}{\eta} \text{grad}p^*$$

ПОДЗЕМНАЯ НЕФТЕГИДРОДИНАМИКА

ГРАНИЦЫ ПРИМЕНИМОСТИ ЗАКОНА ДАРСИ

ВЕРХНЯЯ ГРАНИЦА

ЧИСЛО РЕЙНОЛЬДСА

$$Re = \frac{w a \rho}{\eta}$$

Формула Щелкачева $Re = \frac{10 u \rho \sqrt{k}}{m^{2,3} \eta},$

$$Re_{kp} = 1-12$$

где $a = \frac{10 \sqrt{k}}{m^{2,3}}$; $w=u.$

НИЖНЯЯ ГРАНИЦА

$$-\frac{dp}{dl} = \frac{\eta}{k} u + \tau, \quad u > 0,$$

$$-\frac{dp}{dl} \leq \tau_h, \quad u = 0.$$

ПОДЗЕМНАЯ НЕФТЕГИДРОДИНАМИКА

НЕЛИНЕЙНЫЕ ЗАКОНЫ ФИЛЬТРАЦИИ

СТЕПЕННОЙ

$$u = C \left(-\frac{dp}{dl} \right)^{\frac{1}{n}}, \quad 1 \leq n \leq 2$$

ДВУХЧЛЕННАЯ
ЗАВИСИМОСТЬ

$$-\frac{dp}{dl} = Au + Bu^2.$$

$$A = \frac{\eta}{k}; \quad B = \beta \frac{\rho}{\sqrt{k}}, \quad \beta = \frac{12 \cdot 10^{-5} d^2}{mk}.$$

ПОДЗЕМНАЯ НЕФТЕГИДРОДИНАМИКА

УРАВНЕНИЯ ТЕЧЕНИЯ

ПОТЕНЦИАЛ $\varphi = \int \frac{k\rho}{\eta} dp + C$

ЗАКОН ДАРСИ $\rho \nabla \vec{u} = -\text{grad}\varphi$

УРАВНЕНИЯ ЛАПЛАСА

$$\frac{\partial \rho m}{\partial t} = \Delta \varphi$$

$$\Delta \varphi = 0$$

ПОДЗЕМНАЯ НЕФТЕГИДРОДИНАМИКА

ВИДЫ ОДНОМЕРНЫХ ПОТОКОВ

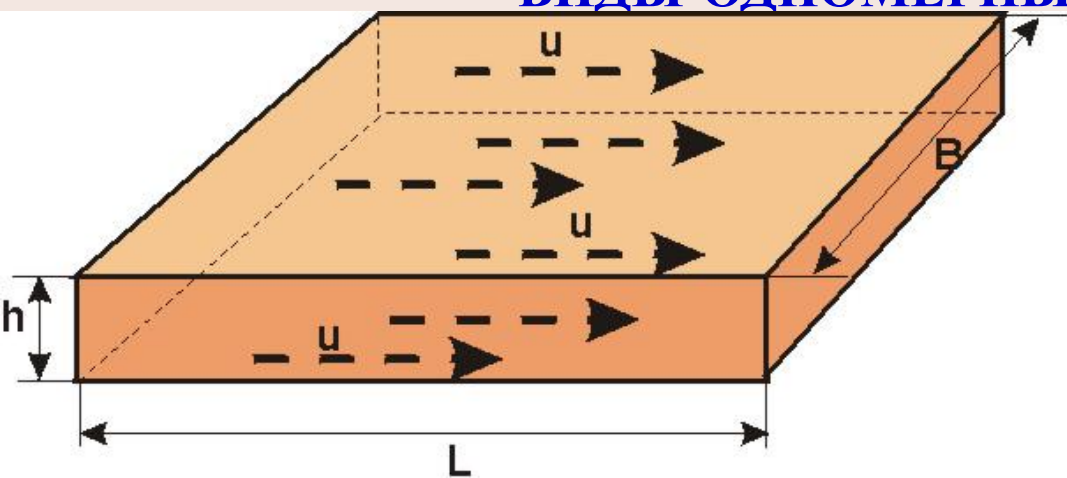
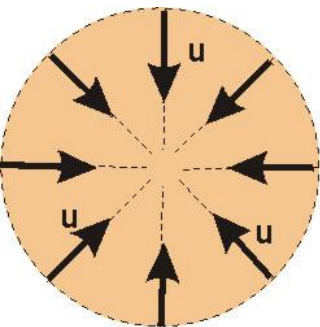
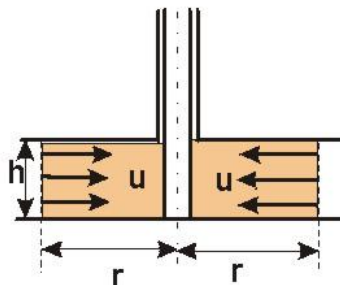


Рис.25. Схема прямолинейно-параллельного потока в пласте



a)



b)

Рис.26. Схема плоскорадиального потока в пласте
а) горизонтальное сечение
б) вертикальное сечение

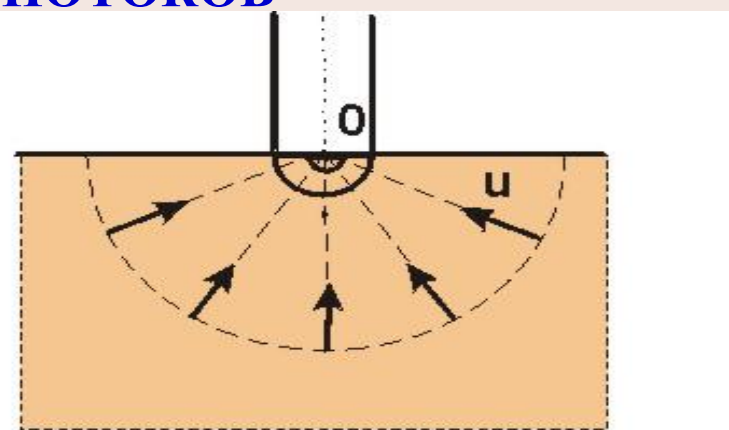


Рис. 27. Схема радиально-сферического фильтрационного потока

ПОДЗЕМНАЯ НЕФТЕГИДРОДИНАМИКА

АНАЛИЗ ПРИТОКА НЕФТИ К СКВАЖИНЕ ПО ЗАКОНУ ДАРСИ ИСХОДНЫЕ УРАВНЕНИЯ

ИЗМЕНЕНИЯ ПОТЕНЦИАЛЬНОЙ ФУНКЦИИ

$$\varphi = \varphi_k - \frac{\Delta\varphi_k}{\ln \bar{r}_k} \ln \frac{r_k}{r}, \quad \Delta\varphi_k = \varphi_k - \varphi_c; \quad \bar{r}_k = \frac{r_k}{r_c}$$

ПРИТОКА

$$G = 2\pi h \frac{\Delta\varphi_k}{\ln \bar{r}_k};$$

ИЗМЕНЕНИЯ ГРАДИЕНТА ПОТЕНЦИАЛА

$$\frac{d\varphi}{dr} = \frac{1}{r} \frac{\Delta\varphi_k}{\ln \bar{r}_k}$$

ПОДЗЕМНАЯ НЕФТЕГИДРОДИНАМИКА

АНАЛИЗ ПРИТОКА НЕФТИ К СКВАЖИНЕ ПО ЗАКОНУ ДАРСИ

ПРИТОК НЕФТИ ПРИ ДАВЛЕНИИ БОЛЬШЕМ ДАВЛЕНИЯ

НАСЫЩЕНИЯ (ПОРИСТЫЙ ПЛАСТ)

ПОТЕНЦИАЛ $\Phi = \frac{k\rho}{\eta} p + C$

РАСПРЕДЕЛЕНИЕ ДАВЛЕНИЯ

$$p = p_k - a_1 \cdot \ln \frac{r_k}{r}, \text{ где } a_1 = \frac{\Delta p_k}{\ln r_k};$$

ОБЪЁМНЫЙ ДЕБИТ (ФОРМУЛА ДЮПЮИ)

$$Q = \frac{2\pi h k}{\eta} a_1 = \frac{2\pi h k}{\eta} \frac{\Delta p_k}{\ln r_k}$$

ГРАДИЕНТ ДАВЛЕНИЯ

$$\frac{dp}{dr} = \frac{a_1}{r};$$

СКОРОСТЬ ФИЛЬТРАЦИИ

$$u = Q / 2\pi h r = \frac{k}{\eta} a_1 \frac{1}{r};$$

ПОДЗЕМНАЯ НЕФТЕГИДРОДИНАМИКА

АНАЛИЗ ПРИТОКА НЕФТИ К СКВАЖИНЕ ПО ЗАКОНУ ДАРСИ

ПРИТОК НЕФТИ ПРИ ДАВЛЕНИИ БОЛЬШЕМ ДАВЛЕНИЯ НАСЫЩЕНИЯ (ПОРИСТЫЙ ПЛАСТ)

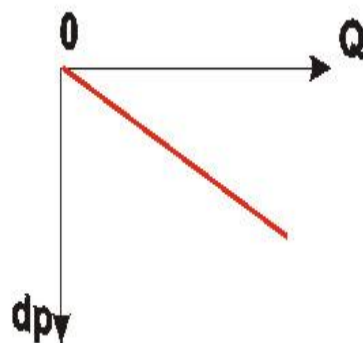


Рис.28. Индикаторная диаграмма плоскорадиального потока несжимаемой жидкости по закону Дарси

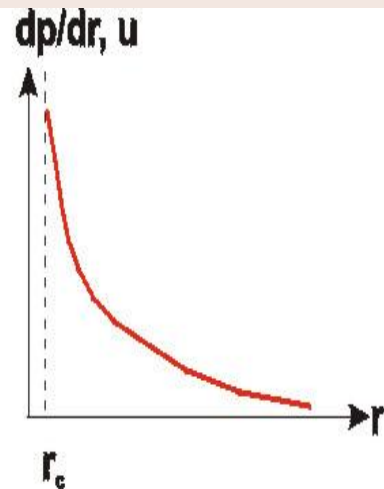


Рис.29. График зависимости градиента давления и скорости фильтрации от расстояния до центра скважины

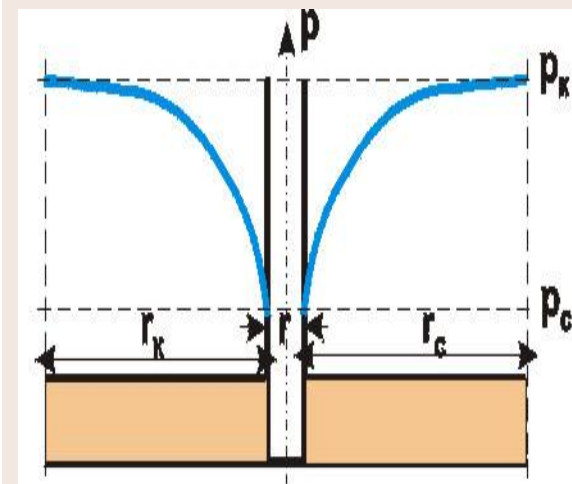


Рис.30. График распределения давления в плоскорадиальном фильтрационном потоке

ПОДЗЕМНАЯ НЕФТЕГИДРОДИНАМИКА

АНАЛИЗ ПРИТОКА НЕФТИ К СКВАЖИНЕ ПО ЗАКОНУ ДАРСИ ПРИТОК НЕФТИ ПРИ ДАВЛЕНИИ БОЛЬШЕМ ДАВЛЕНИЯ НАСЫЩЕНИЯ (ТРЕЩИНОВАТЫЙ ПЛАСТ)

ПОТЕНЦИАЛ $\varphi = \frac{k_t \rho}{4 \eta \beta^*} \left[1 - \beta^* (p_k - p) \right]^{\frac{1}{4}} + C$

РАСПРЕДЕЛЕНИЕ ДАВЛЕНИЯ $p = p_k - \frac{1 - \sqrt[4]{\Lambda}}{\beta},$

где $\Lambda = 1 - \frac{a2}{\ln r_k} \ln \frac{r_k}{r},$

. $a2 = \left[1 - \left(1 - \beta^* \Delta p_k \right)^4 \right]$

ГРАДИЕНТ ДАВЛЕНИЯ $\frac{dp}{dr} = \frac{a2}{4r} \cdot \frac{1}{\ln r_k \left[1 - \beta^* (p_k - p) \right]^3};$

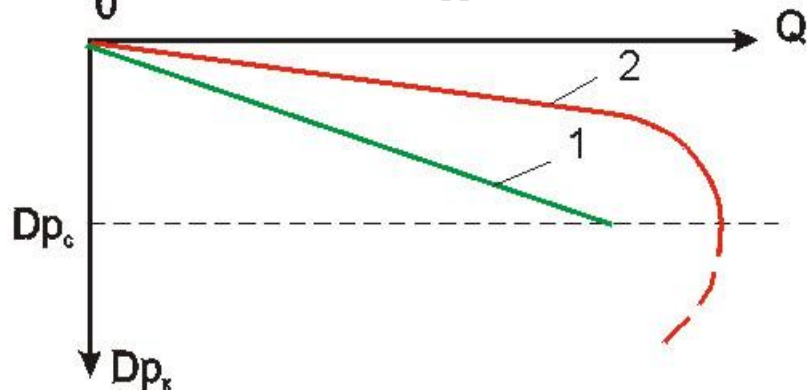
ПОДЗЕМНАЯ НЕФТЕГИДРОДИНАМИКА

АНАЛИЗ ПРИТОКА НЕФТИ К СКВАЖИНЕ ПО ЗАКОНУ ДАРСИ ПРИТОК НЕФТИ ПРИ ДАВЛЕНИИ БОЛЬШЕМ ДАВЛЕНИЯ НАСЫЩЕНИЯ (ТРЕЩИНОВАТЫЙ ПЛАСТ)

ОБЪЁМНЫЙ ДЕБИТ (ФОРМУЛА ДЮПЮИ)

$$Q = \pm \frac{\pi h k_T^0}{2\eta \beta^* \ln \bar{r}_k} a^2$$

$$u = Q / 2\pi h r = \frac{k}{4\eta \beta^*} a^2 \frac{1}{r};$$



СКОРОСТЬ ФИЛЬТРАЦИИ

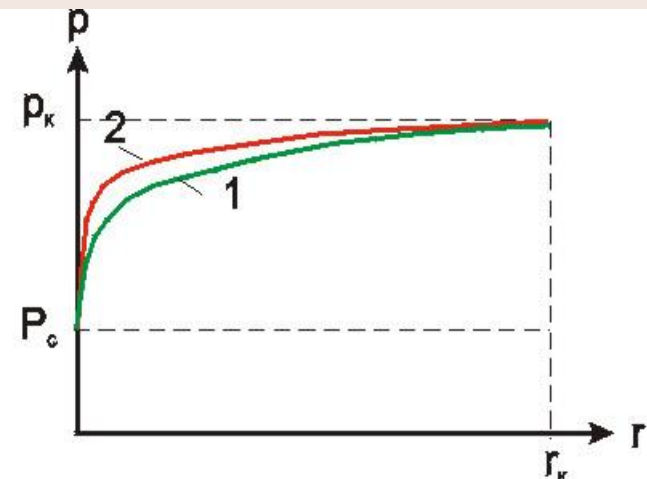


Рис.31. Кривые распределения давления:
1 - в пористом пласте;
2 - в трещиноватом пласте

Рис.32. Индикаторные кривые
1 - в пористом пласте;
2 - в трещиноватом пласте

ПОДЗЕМНАЯ НЕФТЕГИДРОДИНАМИКА

АНАЛИЗ ПРИТОКА НЕФТИ К СКВАЖИНЕ ПО ЗАКОНУ ДАРСИ ПРИТОК НЕФТИ ПРИ ДАВЛЕНИИ МЕНЬШЕМ ДАВЛЕНИЯ НАСЫЩЕНИЯ (ГАЗИРОВАННАЯ НЕФТЬ)

$$Q = \frac{2\pi b k_j (p_k - p_c)}{\mu_j \ln \frac{r_k}{r_c}}$$

Сравнительная величина дебитов в случае газированной жидкости при различных газовых факторах



Рис. 33. Индикаторные кривые
1 - идеальная газированная нефть
2 - реальная газированная нефть

Газовый фактор Γ , M^3/M^3	Фазовая относительная проницаемость K' (s)		Отношение объемно- го дебита жидкой фа- зы к дебиту одно- фазной жидкости, %	Отношение объем- ного дебита газа к дебиту газа в одно- фазном потоке, %
	$P_k = 100$ кгс/см²	$P_c = 50$ кгс/см²		
200	0.698	0.583	64.4	1.71
400	0.573	0.471	52.4	2.80
600	0.535	0.409	47.6	3.80

ПОДЗЕМНАЯ НЕФТЕГИДРОДИНАМИКА

АНАЛИЗ ПРИТОКА НЕФТИ К СКВАЖИНЕ ПО ЗАКОНУ ДАРСИ ПРИТОК НЕФТИ ПРИ ДАВЛЕНИИ МЕНЬШЕМ ДАВЛЕНИЯ НАСЫЩЕНИЯ (ГАЗИРОВАННАЯ НЕФТЬ)

$$Q = \frac{2\pi b k_j (p_k - p_c)}{\mu_j \ln \frac{r_k}{r_c}}$$

Сравнительная величина дебитов в случае газированной жидкости при различных газовых факторах



Рис. 33. Индикаторные кривые

- 1 - идеальная газированная нефть
2 - реальная газированная нефть

Газовый фактор Γ , M^3/M^3	Фазовая относительная проницаемость k' (s)		Отношение объемного дебита жидкой фазы к дебиту однофазной жидкости, %	Отношение объемного дебита газа к дебиту газа в однофазном потоке, %
	$P_k = 100$ кгс/см ²	$P_c = 50$ кгс/см ²		
200	0.698	0.583	64.4	1.71
400	0.573	0.471	52.4	2.80
600	0.535	0.409	47.6	3.80

ПОДЗЕМНАЯ НЕФТЕГИДРОДИНАМИКА

АНАЛИЗ ПРИТОКА НЕФТИ К СКВАЖИНЕ ПО НЕЛИНЕЙНОМУ ЗАКОНУ ПРИТОК НЕФТИ В ПОРИСТОМ ПЛАСТЕ

ИНДИКАТОРНЫЕ ЗАВИСИМОСТИ

двуихченная

$$p_k - p_c = \frac{Q\eta}{2\pi kh} \ln \frac{R_k}{r_c} - \frac{Q^2 b}{(2\pi h)^2} \left(\frac{1}{r_c} - \frac{1}{R_k} \right)$$

вогеля

$$Q = Q_{max} \left[1 - (1 - V_c) \frac{p_c}{p_k} - V_c \frac{p_c^2}{p_c^2} \right]$$

федковича

$$Q = F_c (p_k^2 - p_c^2)^{Fe}$$

ПОДЗЕМНАЯ НЕФТЕГИДРОДИНАМИКА

ВЛИЯНИЕ РАДИУСА СКВАЖИНЫ НА ЕЁ ПРОИЗВОДИТЕЛЬНОСТЬ

Закон фильтрации	Тип потока	
	плоско-радиальный	радиально-сферический
<i>Дарси</i>	$y = \frac{\ln \frac{R_k}{r_c}}{\ln \frac{R_k}{r_c} - \ln x}$	$y=x$
<i>Краснопольского</i>	$y = \sqrt{x}$	$y = \sqrt{x^3}$

$$y = \frac{G}{G'}; \quad x = \frac{r_c}{r'_c}$$